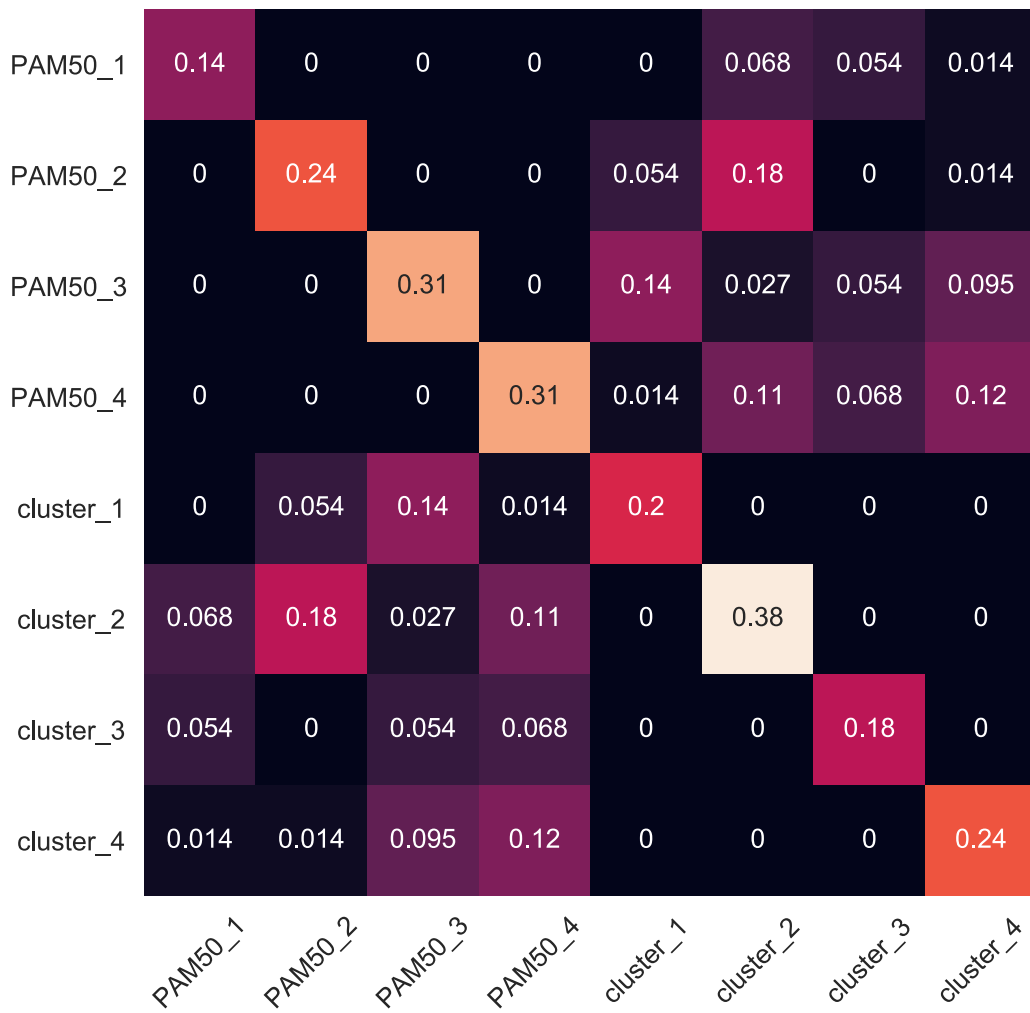
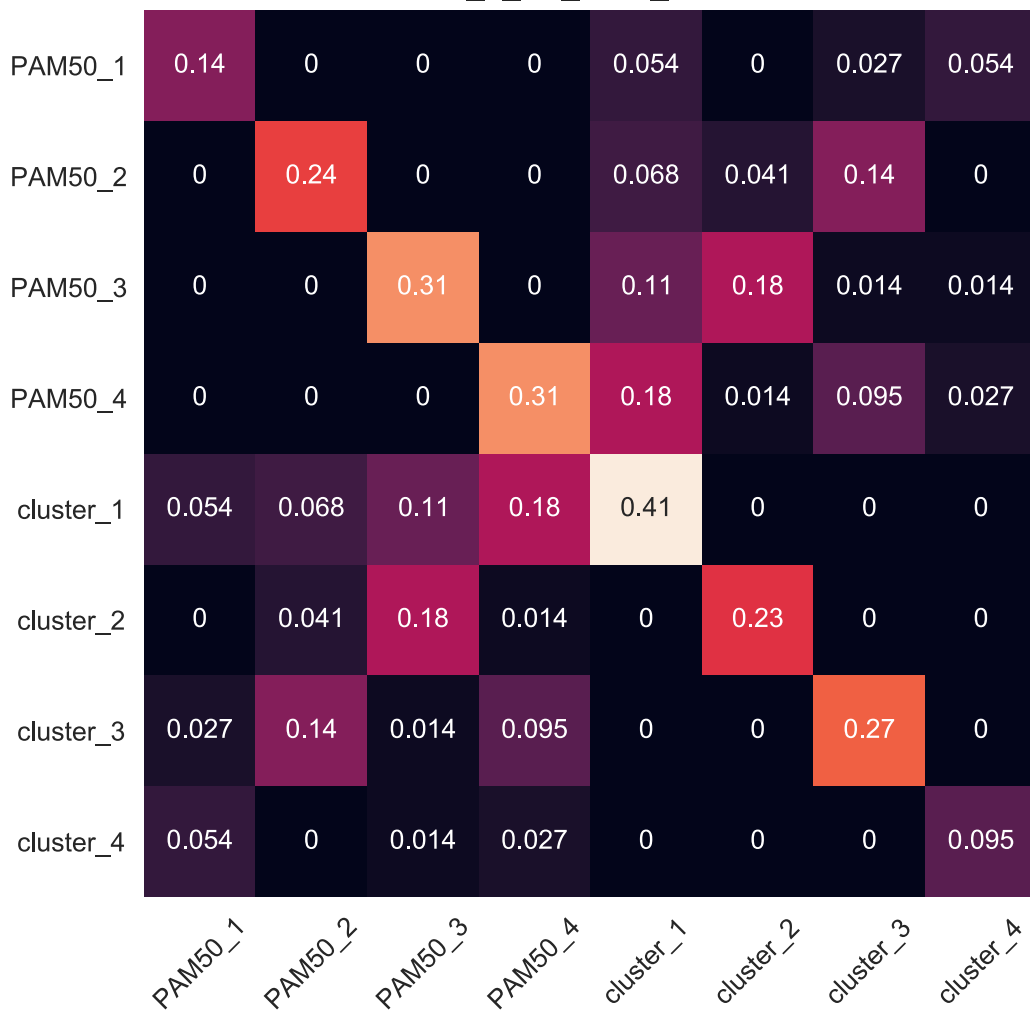


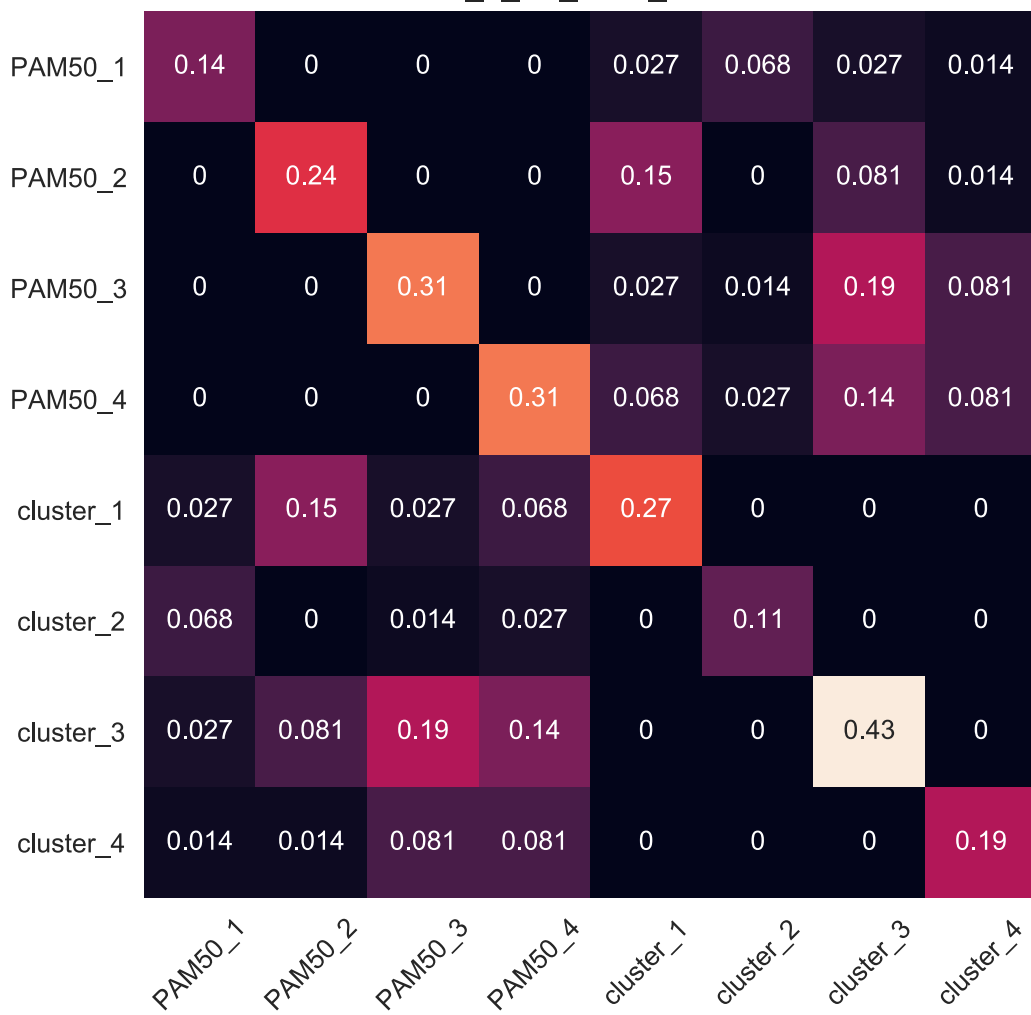
KNN_4_full_875_features



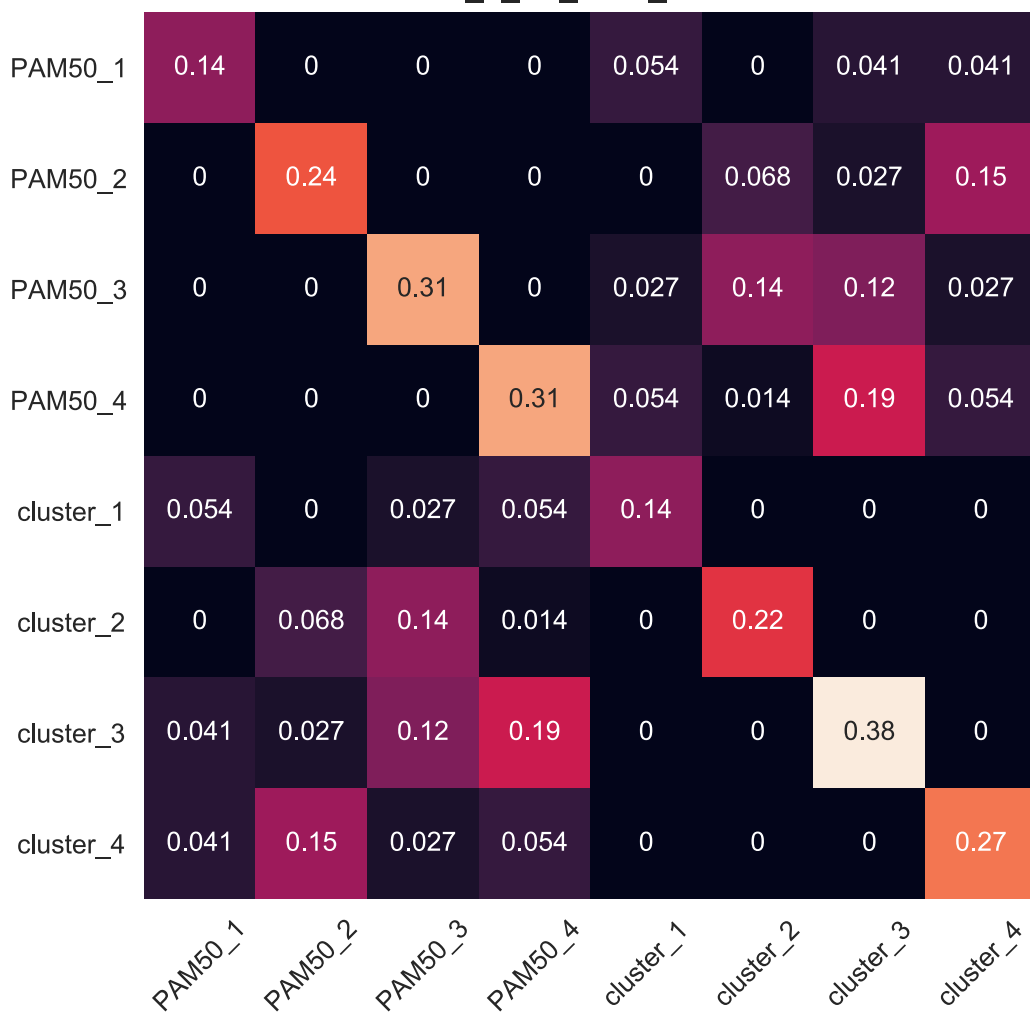
KNN_4_full_1100_features



KNN_4_full_1484_features



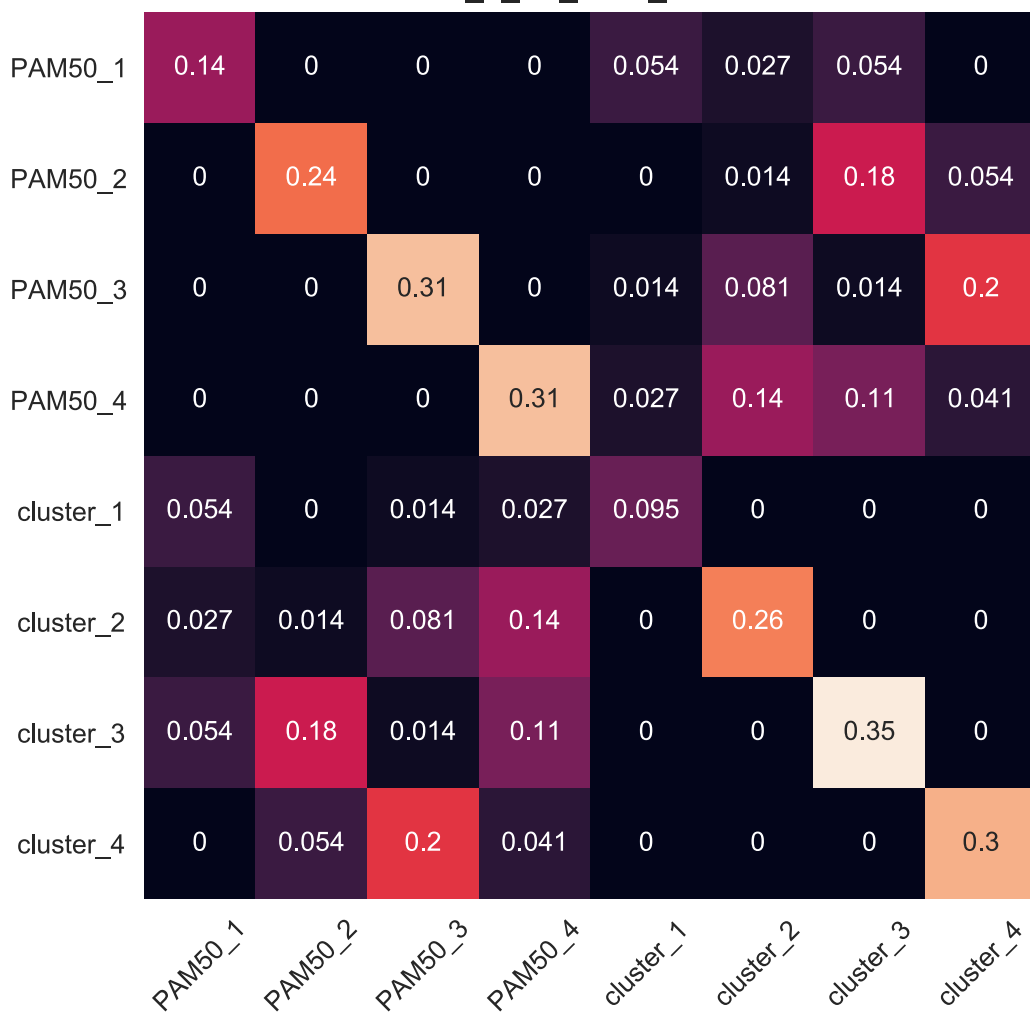
KNN_4_full_1857_features



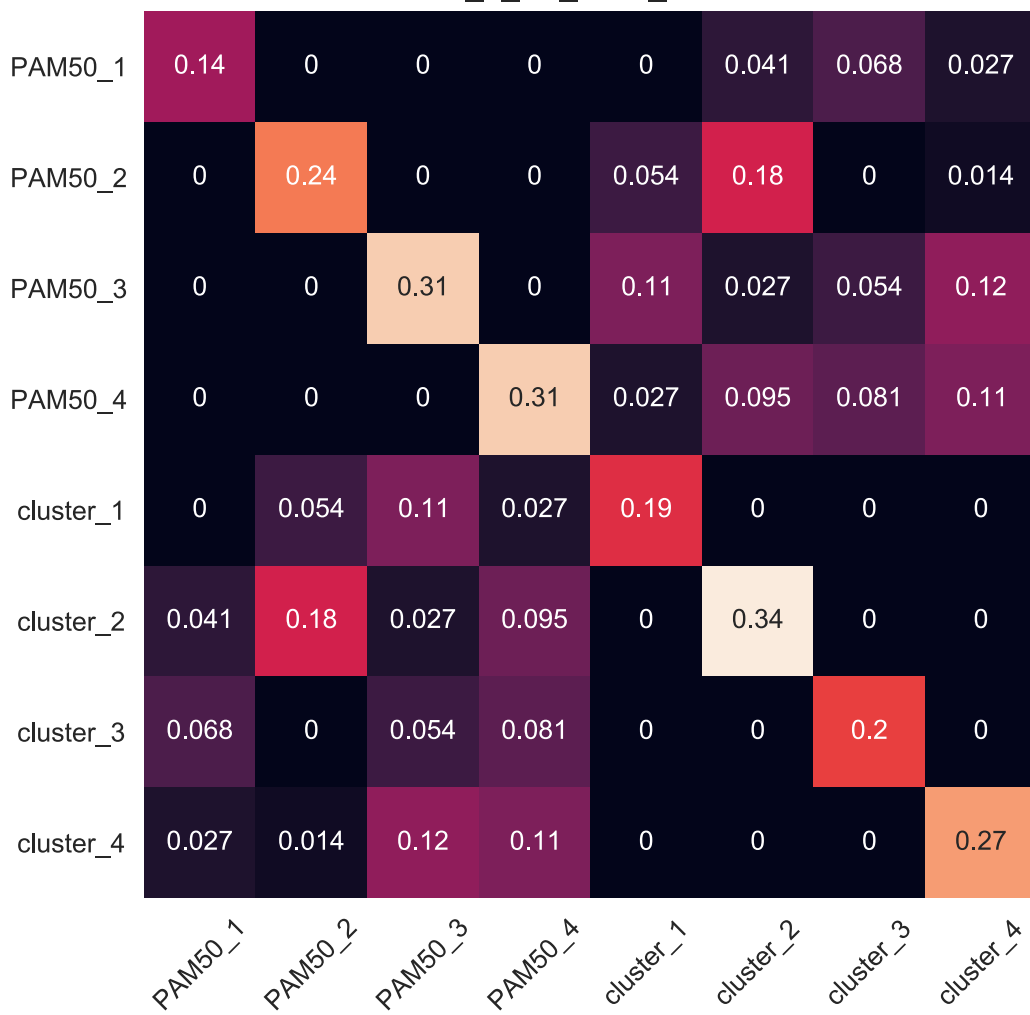
KNN_4_full_1933_features

PAM50_1	0.14	0	0	0	0.027	0.068	0.014	0.027
PAM50_2	0	0.24	0	0	0.014	0	0.054	0.18
PAM50_3	0	0	0.31	0	0.095	0.041	0.15	0.027
PAM50_4	0	0	0	0.31	0.14	0.12	0	0.054
cluster_1	0.027	0.014	0.095	0.14	0.27	0	0	0
cluster_2	0.068	0	0.041	0.12	0	0.23	0	0
cluster_3	0.014	0.054	0.15	0	0	0	0.22	0
cluster_4	0.027	0.18	0.027	0.054	0	0	0	0.28
	PAM50_1	PAM50_2	PAM50_3	PAM50_4	cluster_1	cluster_2	cluster_3	cluster_4

KNN_4_full_1949_features



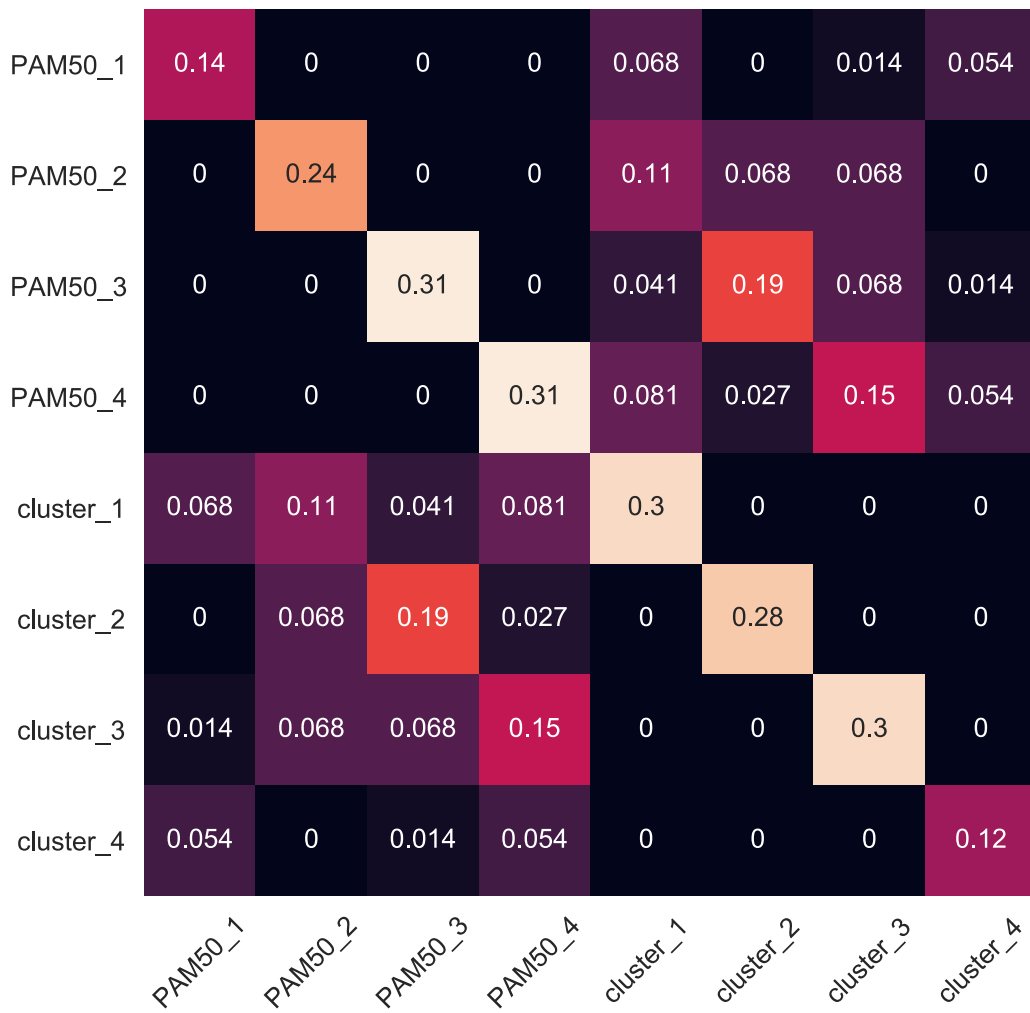
KNN_4_full_2121_features



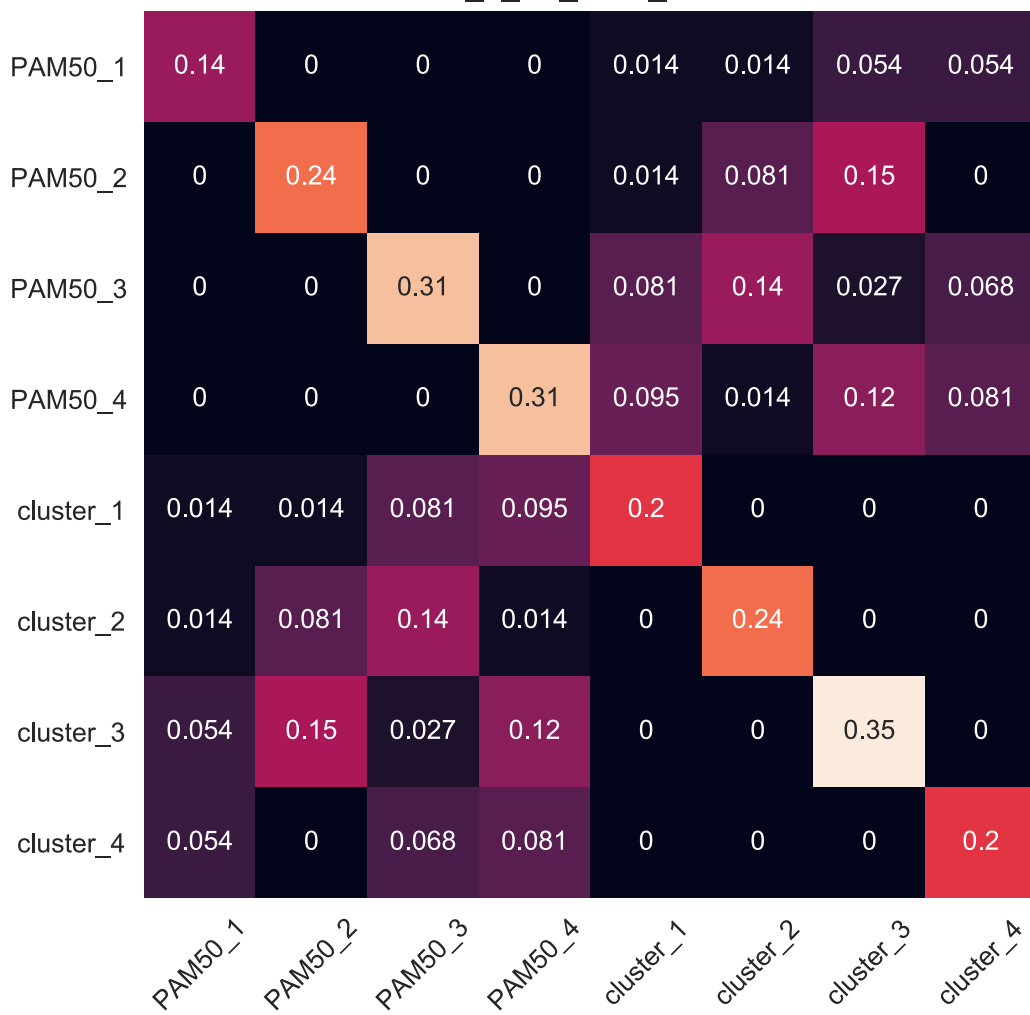
KNN_4_full_2652_features

PAM50_1	0.14	0	0	0	0.027	0.014	0.068	0.027
PAM50_2	0	0.24	0	0	0.014	0.095	0	0.14
PAM50_3	0	0	0.31	0	0.2	0.027	0.041	0.041
PAM50_4	0	0	0	0.31	0.15	0.014	0.068	0.081
cluster_1	0.027	0.014	0.2	0.15	0.39	0	0	0
cluster_2	0.014	0.095	0.027	0.014	0	0.15	0	0
cluster_3	0.068	0	0.041	0.068	0	0	0.18	0
cluster_4	0.027	0.14	0.041	0.081	0	0	0	0.28
	PAM50_1	PAM50_2	PAM50_3	PAM50_4	cluster_1	cluster_2	cluster_3	cluster_4

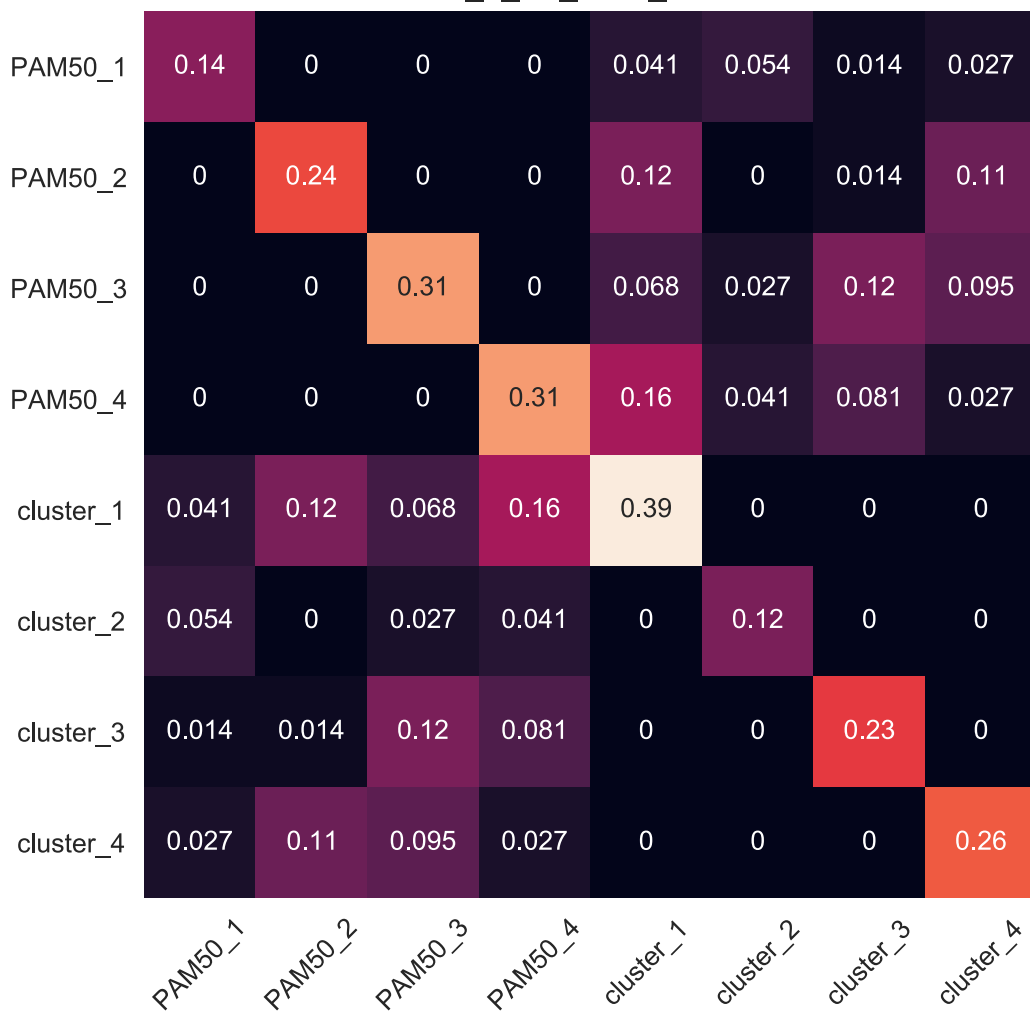
KNN_4_full_2961_features



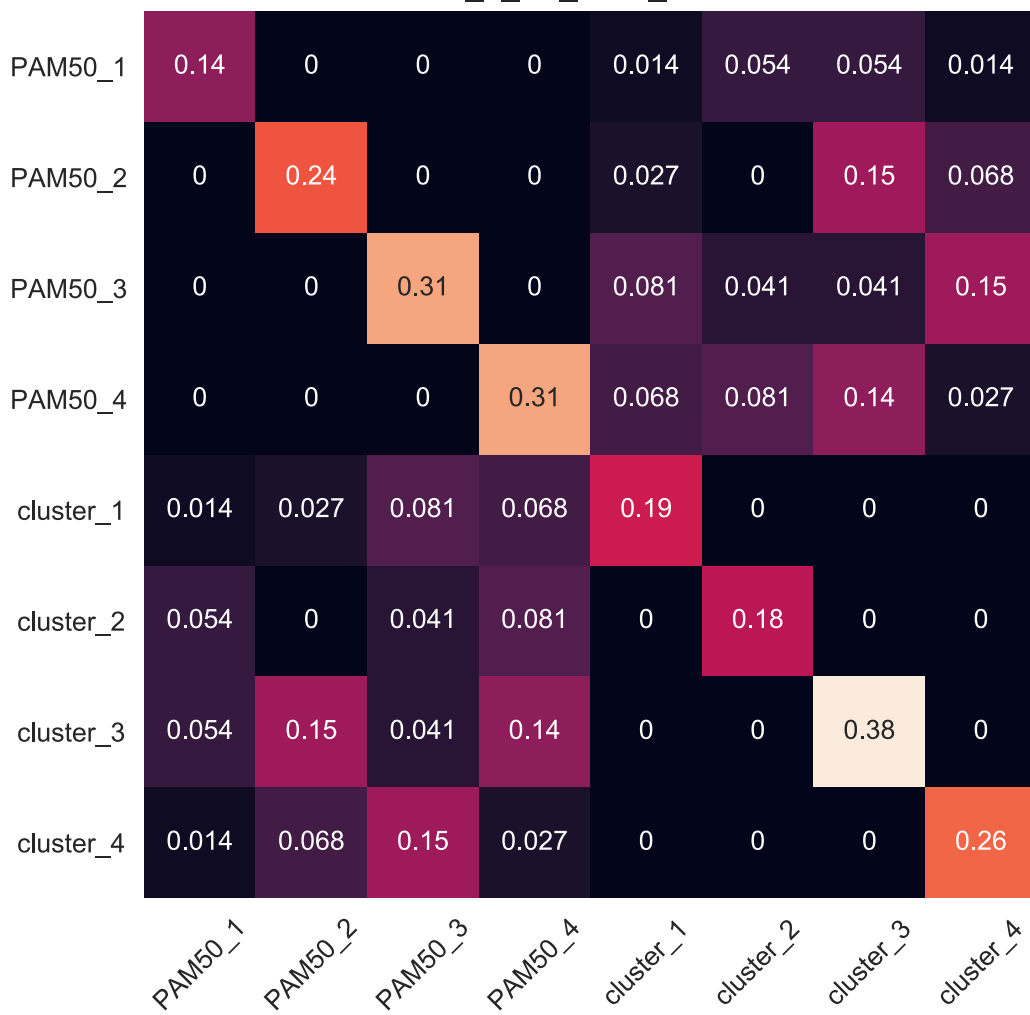
KNN_4_full_3705_features



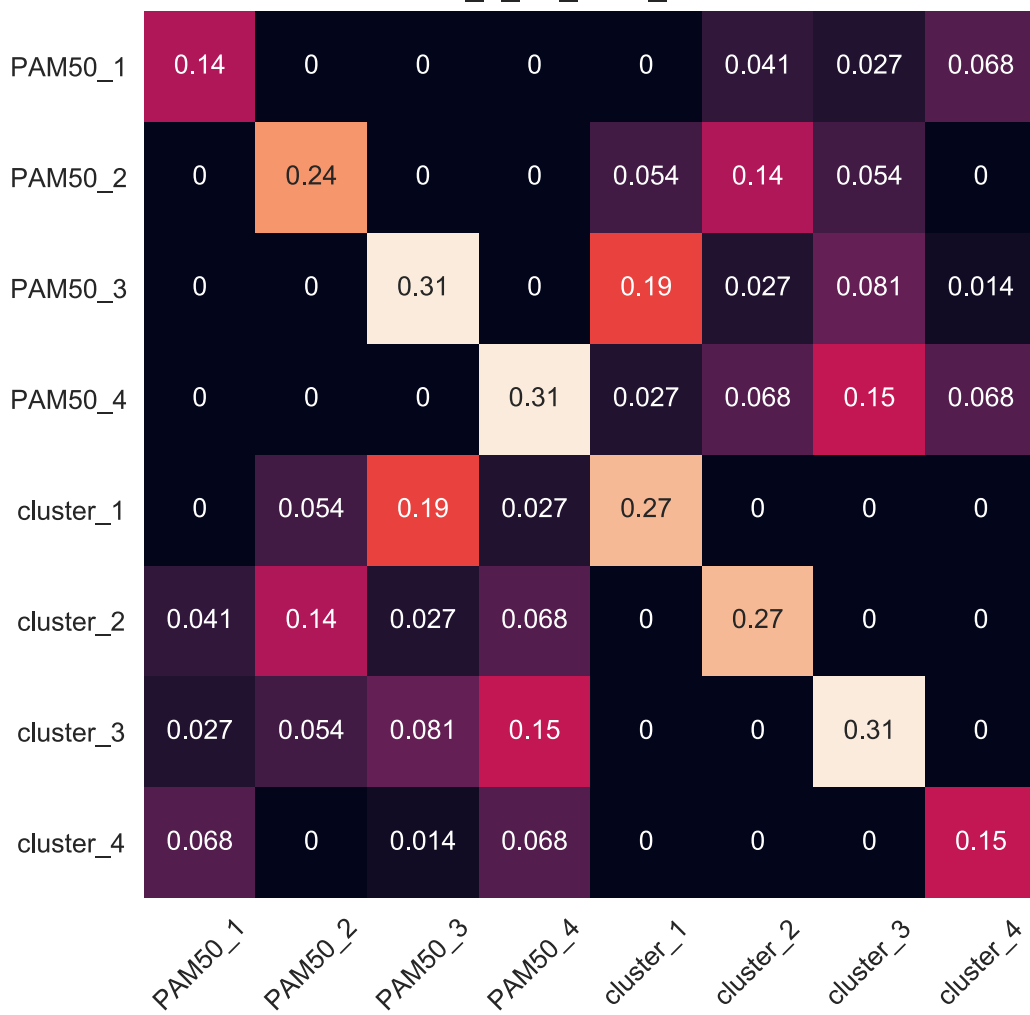
KNN_4_full_3792_features



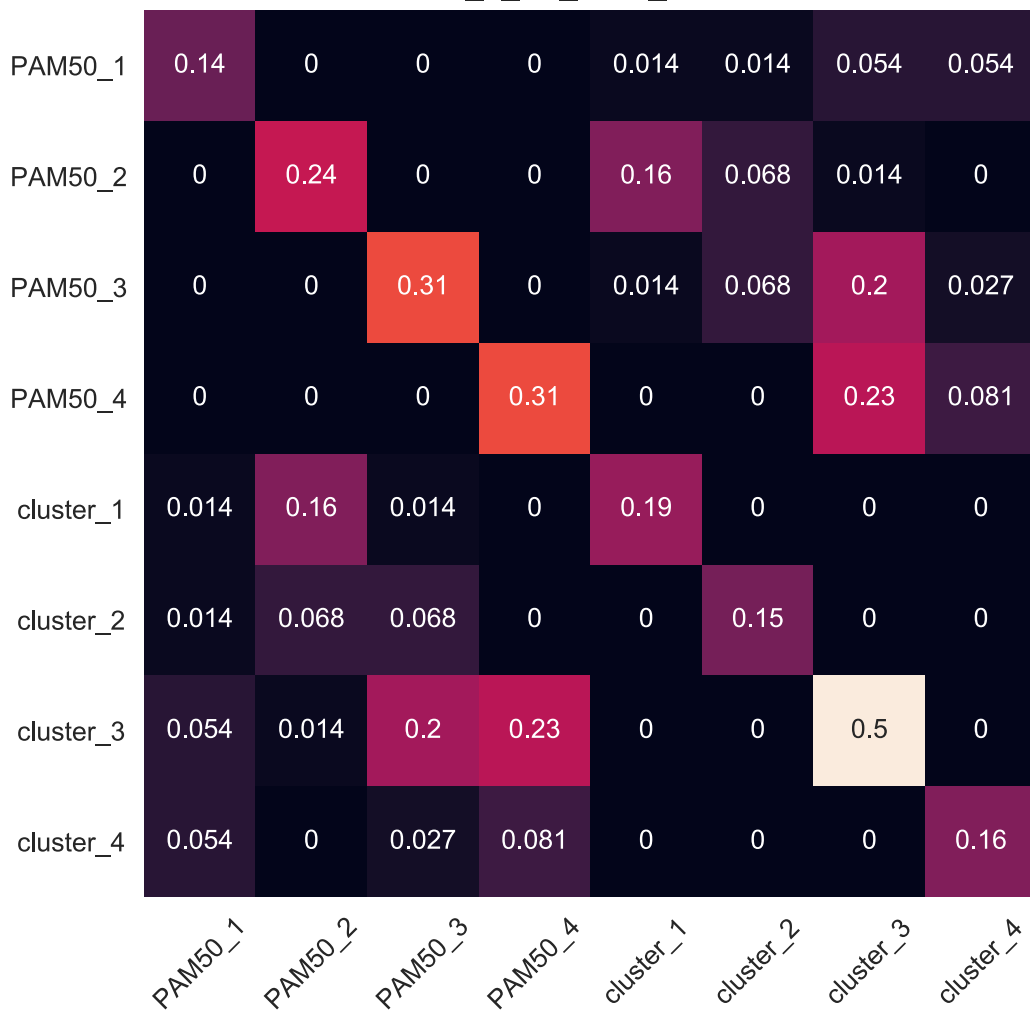
KNN_4_full_3887_features



KNN_4_full_4276_features



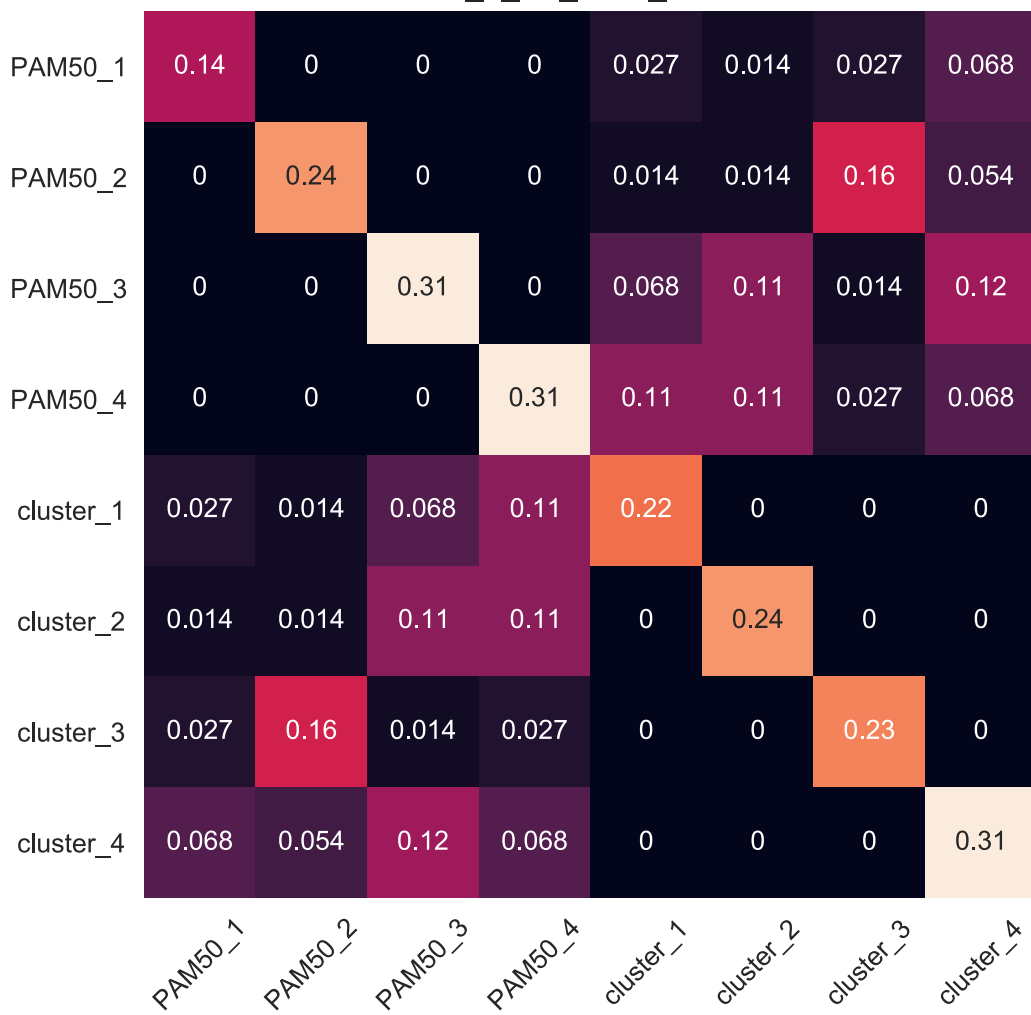
KNN_4_full_4680_features



KNN_4_full_5102_features

PAM50_1	0.14	0	0	0	0.054	0.014	0.014	0.054
PAM50_2	0	0.24	0	0	0	0.095	0.068	0.081
PAM50_3	0	0	0.31	0	0.014	0.027	0.16	0.11
PAM50_4	0	0	0	0.31	0.014	0.081	0.054	0.16
cluster_1	0.054	0	0.014	0.014	0.081	0	0	0
cluster_2	0.014	0.095	0.027	0.081	0	0.22	0	0
cluster_3	0.014	0.068	0.16	0.054	0	0	0.3	0
cluster_4	0.054	0.081	0.11	0.16	0	0	0	0.41
	PAM50_1	PAM50_2	PAM50_3	PAM50_4	cluster_1	cluster_2	cluster_3	cluster_4

KNN_4_full_5547_features



KNN_4_full_6499_features

PAM50_1	0.14	0	0	0	0.014	0.054	0	0.068
PAM50_2	0	0.24	0	0	0.081	0.14	0.027	0
PAM50_3	0	0	0.31	0	0.15	0.068	0.054	0.041
PAM50_4	0	0	0	0.31	0.027	0.18	0.054	0.054
cluster_1	0.014	0.081	0.15	0.027	0.27	0	0	0
cluster_2	0.054	0.14	0.068	0.18	0	0.43	0	0
cluster_3	0	0.027	0.054	0.054	0	0	0.14	0
cluster_4	0.068	0	0.041	0.054	0	0	0	0.16
	PAM50_1	PAM50_2	PAM50_3	PAM50_4	cluster_1	cluster_2	cluster_3	cluster_4

KNN_4_full_6917_features

PAM50_1	0.14	0	0	0	0.014	0.041	0.068	0.014
PAM50_2	0	0.24	0	0	0.054	0.014	0	0.18
PAM50_3	0	0	0.31	0	0.081	0.16	0.041	0.027
PAM50_4	0	0	0	0.31	0	0.2	0.068	0.041
cluster_1	0.014	0.054	0.081	0	0.15	0	0	0
cluster_2	0.041	0.014	0.16	0.2	0	0.42	0	0
cluster_3	0.068	0	0.041	0.068	0	0	0.18	0
cluster_4	0.014	0.18	0.027	0.041	0	0	0	0.26
	PAM50_1	PAM50_2	PAM50_3	PAM50_4	cluster_1	cluster_2	cluster_3	cluster_4

KNN_4_full_7831_features

PAM50_1	0.14	0	0	0	0.068	0.027	0.014	0.027
PAM50_2	0	0.24	0	0	0	0.014	0.068	0.16
PAM50_3	0	0	0.31	0	0.027	0.12	0.14	0.027
PAM50_4	0	0	0	0.31	0.068	0.12	0.014	0.11
cluster_1	0.068	0	0.027	0.068	0.16	0	0	0
cluster_2	0.027	0.014	0.12	0.12	0	0.28	0	0
cluster_3	0.014	0.068	0.14	0.014	0	0	0.23	0
cluster_4	0.027	0.16	0.027	0.11	0	0	0	0.32
	PAM50_1	PAM50_2	PAM50_3	PAM50_4	cluster_1	cluster_2	cluster_3	cluster_4

KNN_4_full_7907_features

PAM50_1	0.14	0	0	0	0.027	0.014	0.068	0.027
PAM50_2	0	0.24	0	0	0.014	0.068	0	0.16
PAM50_3	0	0	0.31	0	0.12	0.12	0.041	0.027
PAM50_4	0	0	0	0.31	0.081	0.014	0.095	0.12
cluster_1	0.027	0.014	0.12	0.081	0.24	0	0	0
cluster_2	0.014	0.068	0.12	0.014	0	0.22	0	0
cluster_3	0.068	0	0.041	0.095	0	0	0.2	0
cluster_4	0.027	0.16	0.027	0.12	0	0	0	0.34
	PAM50_1	PAM50_2	PAM50_3	PAM50_4	cluster_1	cluster_2	cluster_3	cluster_4